



تأثیر افزودن نانوذرات به سیال برشی در روان کاری کمینه حین سنجنی به کمک ارتعاشات فراصوت

محمد زارعی^۱، میر مجید مولائی^۲، جواد اکبری^{۳*}، محمد رضا موحدی^۴

۱- کارشناسی، مهندسی مکانیک، دانشگاه صنعتی شریف، تهران

۲- کارشناسی ارشد، مهندسی مکانیک، دانشگاه صنعتی شریف، تهران

۳- دانشیار، مهندسی مکانیک، دانشگاه صنعتی شریف، تهران

۴- استاد، مهندسی مکانیک، دانشگاه صنعتی شریف، تهران

* تهران، صندوق پستی ۱۱۱۵۵-۹۵۶۷ akbari@sharif.edu

چکیده

فرآیند سنجنی به دلیل حصول صافی سطح بالا از مهم‌ترین روش‌های ماشین کاری سنتی محسوب می‌شود؛ اما انرژی مخصوص تراش زیاد و نیروهای بزرگ مورد نیاز برای براده‌برداری باعث بالا رفت هزینه‌های سنجنی می‌شود. تا کنون تحقیقات فراوانی در مورد فرآیند سنجنی برای کاهش نیروهای سنجنی انجام شده است. سه روش نوین برای این کار عبارتند از: استفاده از نانوپیال، ارتعاشات فراصوت در جین فرآیند سنجنی و روان کاری کمینه. در این مقاله نتایج تجربی تغییرات نیروی عمودی، نیروی مماسی و نسبت نیروی عمومی به نیروی عمودی فرآیند سنجنی فولاد ای آی اس آی ۵۲۰۰ سخت کاری شده ناشی از استفاده همزمان از هر سه روش بررسی شده است. نتایج نشان می‌دهند که افزایش درصد حجمی و ابعاد موردن بررسی قرار گرفته است. سپس مقایسه‌ای بین نتایج حاصل از سه نانوذرتی اکسید آلمینیوم، نانولوله کربنی و گرافیت انجام شده است. نتایج نشان می‌دهند که افزایش درصد حجمی و ابعاد نانوذرات اکسید آلمینیوم افزوده شده به سیال پایه روان کاری کمینه باعث کاهش بیشتر نیروها می‌شود. همچنین افزودن نانولوله کربنی به سیال سنجنی تأثیر محسوسی بر نیروها ندارد، در حالی که، نانوذرات گرافیت بهتر از نانوذرات اکسید آلمینیوم عمل می‌کنند. همچنین حضور ارتعاشات فراصوت باعث کاهش بیشتر نیروهای سنجنی و افزایش نسبت نیروها می‌شود.

کلید واژگان: سنجنی، ارتعاشات فراصوت، نانوپیال، روان کاری کمینه

Nanoparticles in minimum quantity lubrication (MQL) cutting fluid for ultrasonic-assisted grinding (UAG)

Mohammad zarei, MirMajid Molaie, Javad Akbari*, MohammadReza Movahhedy

Mechanical Engineering Department, Sharif University of Technology, Tehran, Iran

* P.O.B. 11155-9567, Tehran, Iran, akbari@sharif.edu

ABSTRACT

Grinding is one of the most interested conventional machining processes, due to its ability to achieve low surface roughness, but it costs much more than the most of the conventional machining processes because of high forces and specific machining energy needed for material removal. Up to now, many researches have investigated the grinding process to reduce grinding forces. Three recent methods for force reduction are incorporation of nano-fluid, ultrasonic-assisted grinding and minimum quantity lubrication. In this article, empirical results of simultaneous use of these methods on tangential, normal forces and tangential force to normal force ratio are investigated during grinding of AISI52100 hardened steel. First, the effect of adding aluminum oxide nanoparticles is investigated in different sizes and concentrations to base fluid. Then, the corresponding results of different nanoparticles (aluminum oxide, multi-walled carbon nano-tube, and graphite) are compared to each other. It's shown that increment of nanoparticles' size and concentration in base fluid causes more decrement of ultrasonic-assisted grinding forces. Adding MWCNTs to the base fluid doesn't have any significant effect on grinding forces while graphite nanoparticles reduce grinding forces more than aluminum oxide nanoparticles. Also, the presence of ultrasonic vibration causes the decrement of grinding forces and increment of force ratio during grinding.

Keywords: Grinding, Minimum Quantity Lubrication (MQL), Nano-Fluid, Ultrasonic Vibrations.

اندازه-اندازه‌ی براده‌ی بسیار کوچک- انرژی مورد نیاز برای برداشت حجم

واحد ماده بسیار زیاد است [۲]

سنجنی به کمک ارتعاشات فراصوت با دامنه‌ی کم یک روش مناسب برای افزایش میزان درگیری دانه‌ها با قطعه کار است که اولین اختراج ثبت شده در این باره متعلق به بالاموثر به سال ۱۹۴۵ باز می‌گردد [۳]. در نتایج گزارش شده توسط بادوری و همکاران [۴] که تأثیر ارتعاشات فراصوت بر سنجنی سوپرآلیاژهای پایه نیکل بررسی شده است، آمده است که افزودن ارتعاشات

در حین فرآیند سنجنی، تنها تعداد بسیار کمی از دانه‌های چرخ سنجنی که با قطعه کار در تماس هستند به طور فعال نقش براده‌برداری ایفا می‌کنند، در حالی که باقی آن‌ها بدون انجام براده‌برداری، فقط روی سطح تماس چرخ سنجنی با قطعه کار کشیده شده و ایجاد حرارت می‌کنند [۱]. همچنین به دلیل زوایای براده‌ی بسیار منفی، بزرگ‌تر بودن ابعاد ناحیه‌ی ساییده شده در دانه‌های فعال نسبت به ابعاد مشابه در قلمهای تکلیه‌ای و نیز به دلیل اثر

Please cite this article using:

M. zarei, M.M. Molaie, J. Akbari, M.R. Movahhedy, Nanoparticles in Minimum Quantity Lubrication (MQL) Cutting Fluid for Ultrasonic-Assisted Grinding (UAG), *Modares Mechanical Engineering, Proceedings of the Advanced Machining and Machine Tools Conference*, Vol. 15, No. 13, pp. 306-310, 2015 (in Persian)

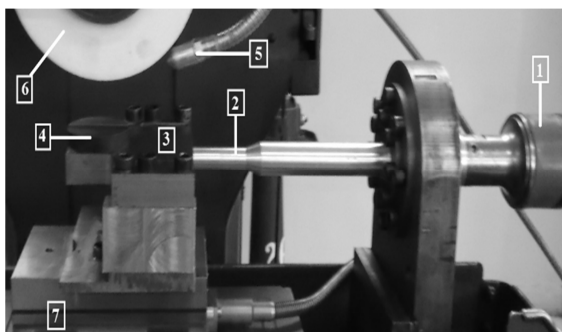
برای ارجاع به این مقاله از عبارت ذیل استفاده نمایید:

هورن و تقویت کننده، از آلیاژ آلومینیوم 7075° و برای سازه‌ی قابل انعطاف از آلیاژ معمولی فولاد استفاده شده است.

۲-۲- شرایط ماشین کاری و تجهیزات اندازه گیری

آزمایش‌های سنگزنانی به صورت تخت و با استفاده از ماشین جونز شیپمن^{۱۰} مدل 69569 انجام شده است. پارامترهای سنگزنانی در جدول ۱ آورده شده‌اند. نیروهای سنگزنانی توسط نیروسنج سمه‌مولفه‌های کیستلر مدل بی 119257 و توسط نرم‌افزار دینوور^{۱۱} تحلیل شده‌اند. برای به دست آوردن شرایط مشابه برای همه‌ی آزمایش‌ها، چرخ سنگزنانی قبل از هر آزمایش درس 13° شد. شرایط درس در جدول ۱ آورده شده‌است. برای بهینه کردن مشخصه‌های روان کاری کمینه آزمایش‌هایی از قبل انجام شد و بهترین مقادیر پارامترها برای انجام آزمایش‌های اصلی انتخاب شدند که در جدول ۱ آورده شده‌اند.

۳-۲- تهییه نانوسیال و مشخصات نانوذرات معلق در سیال برای تهییه نانوسیال، از روش دو مرحله‌ای استفاده شد. یعنی؛ ابتدا نانوذرات



شکل ۱ سیستم مولد ارتعاشات فرا صوت: ۱. مبدل ارتعاشات ۲. انتقال دهنده و تقویت کننده ارتعاشات ۳. سازه‌ی قابل انعطاف ۴. قطعه کار ۵. نازل روان کاری کمینه ۶. چرخ سنگزنانی ۷. نیروسنج

جدول ۱ شرایط سنگزنانی و پارامترهای روان کاری کمینه

چرخ سنگ	نورتون ۵۰۰ جی ۴۶	جی وی اس $15 \times 177 \times 10^4$
سرعت برشی	۳۵	متر بر ثانیه
سرعت پیش روی	۵	متر بر ثانیه
عمق برش	۱۵	میکرومتر
سیال غوطه‌وری	آب صابون ۵ درصد حجمی	
دبی سیال غوطه‌وری	۰/۵ لیتر بر دقیقه	
دبی سیال برشی روان کاری کمینه	۰/۰۰ میلی لیتر بر ساعت	
فشار هوای سیستم روان کاری کمینه	۳	بار
زاویه‌ی نازل	۲۰	درجه نسبت بهافق
جنس قطعه کار	فولاد ای ای اس آی 52100^{15}	سخت کاری شده با سختی راکول سی
درس	الاس تکنقطه‌ای	
عمق درسینگ	۴۰	میکرومتر
سرعت درسینگ	۴۰	متر بر ثانیه

- 9. Al7075
- 10. Jones-Shipman
- 11. Kistler Type 9257
- 12. Dynoware
- 13. Dress
- 14. Norton 5SG46-JVS 177×15
- 15. AISI52100

فرا صوتی سبب 23% کاهش نیروی عمودی و 45% کاهش نیروی مماسی شده است. همچنین اکبری و همکاران در سنگزنانی سرامیک‌های مهندسی به کمک ارتعاشات فرا صوت، کاهش چشم‌گیر مؤلفه‌های نیروی سنگزنانی را گزارش کرده‌اند [۵].

در روش‌های معمول روان کاری، به مقدار زیادی روان کار برای روان کاری مؤثر در فرآیند سنگزنانی نیاز است که با توجه به مخاطراتی که روان کارهای صنعتی برای محیط زیست و سلامتی دارند، تمایل روزافزونی به استفاده ای کمتر از آن‌ها وجود دارد [۶]. روان کاری کمینه روش جایگزین مناسبی برای دست‌یابی به خنک‌کاری مطلوب در فرآیند ماشین کاری است [۷-۱۰]. کارایی این روش در فرآیندهایی با تأثیر قابل توجه اصطلاحاً همچون سنگزنانی، نیازمند استفاده از سیال برشی با خاصیت روان کاری بالا برای تسهیل دست‌یابی به انتقال حرارت بالا و کاهش نیروها حین فرآیند، است.

پنگ و همکاران [۱۱] با بررسی فیزیک نانوروان کار^۱ نشان دادند که نانوذارت به راحتی می‌توانند در سطح تعامل نفوذ کرده و باعث روان کاری الاستوپهیدرودینامیک^۲ قابل توجهی شوند. تاکنون نانوذراتی مختلفی از جمله مولیبدن دی‌سولفید، سیلیکون دی‌اسکید، گرافیت، اکسید آلومینیوم، الماس، نانولوله‌ی کربنی و ... برای بهبود فرآیند ماشین کاری بررسی شده‌اند. کارایی استفاده از روان کاری کمینه با نانوسیال^۳ و سنگزنانی^۴ به کمک ارتعاشات فرما صوت، در کاهش نیروهای سنگزنانی اثبات شده است، در حالی که استفاده‌ی همزمان از هر دو روش بررسی دقیق قرار نشده است و تاکنون پژوهشی در این باره انجام شده است.

در این پژوهش به بررسی روان کاری کمینه با استفاده از نانوسیال حین فرآیند سنگزنانی به کمک ارتعاشات فرما صوت پرداخته می‌شود، انتظار می‌رود اعمال همزمان آن‌ها باعث کاهش هرچه بیشتر نیروها شود. ابتدا اثر اندازه و درصد حجمی نانوذرات اکسید آلومینیوم بر کارایی روان کاری مورد بررسی قرار می‌گیرند و سپس مقایسه‌ای بین سه نانوذره‌ی اکسید آلومینیوم، نانولوله‌ی کربنی و گرافیت انجام خواهد گرفت. در آزمایش‌ها ارتعاشات فرما صوت بیز به صورت هم‌جهت با پیش‌روش قطعه کار ارتعاشات مماسی، نیروی نیروی عمودی و نسبت نیروی مماسی به نیروی عمودی به عنوان پارامتر خروجی و معیار قضاوت عمل کرد فرآیند در نظر گرفته شده است.

۲- تجهیزات و روش آزمایش

۲-۱- سیستم ارتعاشات فرما صوت

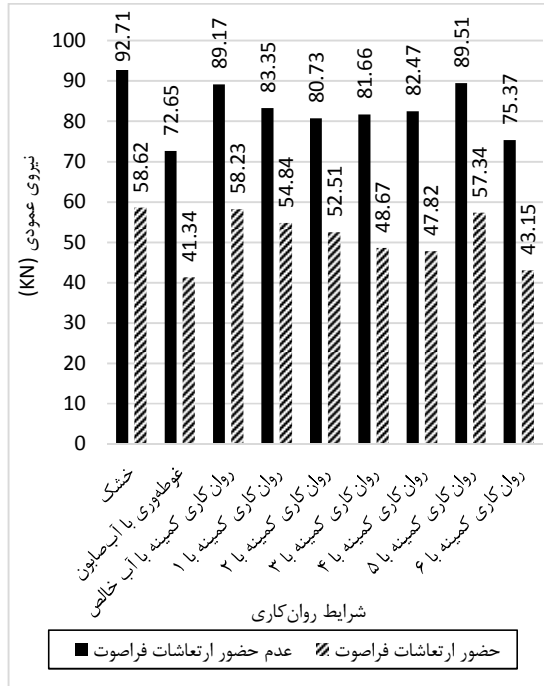
برای اعمال ارتعاشات با بسامد زیاد و دامنه‌ی کم به قطعه کار، یک تجهیز^۵، مطابق شکل ۱ طراحی شد که مبدل ارتعاشات^۶ برای تولید ارتعاشات با بسامد مشخص، هورن^۷ برای انتقال ارتعاشات، تقویت کننده‌ی^۸ ارتعاشات و سازه‌ی قابل انعطاف برای نصب قطعه کار روی آن، را شامل می‌شود.

آزمایش‌های سنگزنانی بدون حضور ارتعاشات فرما صوت و در حضور ارتعاشات فرما صوت انجام شده‌اند. ارتعاشات فرما صوت توسط یک سیگنال‌ساز و مبدل ارتعاشات مدل مسترسونیک اماس جی $21/9$ با فرکانس $2000^{۹}$ کیلوهرتز از فرکانس برق شهری (50 هرتز) تولید و به قطعه کار اعمال شدند. برای ساخت

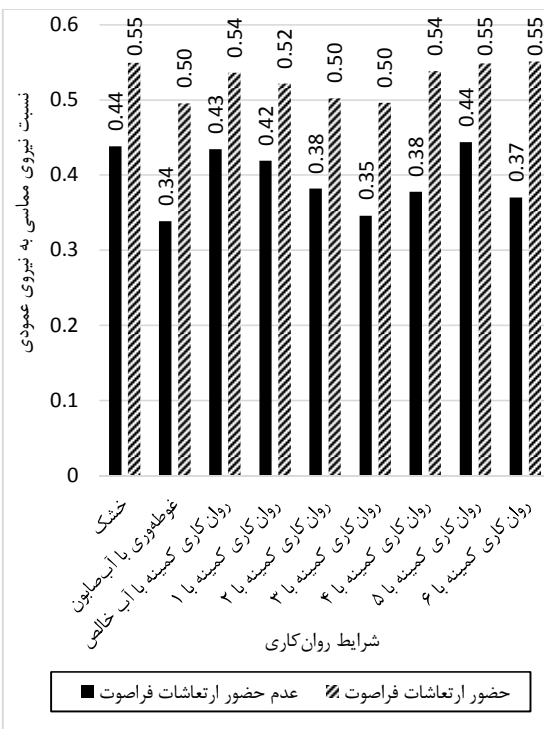
1. Nano lubricant
2. Elastohydrodynamic
3. Nano Fluid
4. Setup
5. Transducer
6. Horn
7. Booster
8. Mastersonic MSG 2000

۳- داده های به دست آمده از آزمایش ها

در شکل های ۲ تا ۴ به ترتیب نیروی مماسی، نیروی عمودی و نسبت نیروی مماسی به نیروی عمودی با افزودن نانوذرات مختلف به سیال برشی روان کاری کمینه بدون حضور ارتعاشات فرا صوت و با حضور ارتعاشات فرا صوت، نشان داده است.



شکل ۳ نیروی عمودی سنگ زنی در شرایط مختلف روان کاری

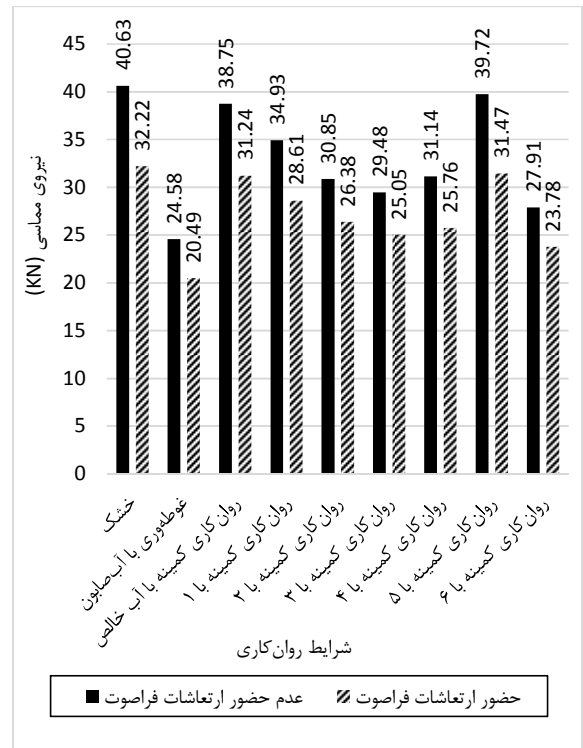


شکل ۴ نسبت نیروی مماسی به نیروی عمودی در شرایط مختلف سنگ زنی

تهیه شدن و سپس به سیال پایه^۱ افزوده و پایدارسازی شدند. نانوذرات اکسید آلومینیوم بدون استفاده از سورفتکتان^۲ و صرفاً با استفاده از همزن فرا صوت^۳ درون آب پایدار شدند. نانولله های کربنی با استفاده از سدیم دودسیل سولفات^۴ به عنوان سورفتکتان و با استفاده از دستگاه حمام فرا صوت^۵ درون آب پایدار شدند. نانوذرات گرافیت نیز با استفاده از سدیم دودسیل سولفات به عنوان سورفتکتان و با استفاده از دستگاه همزن فرا صوت درون آب پایدار شدند. در جدول ۲، نوع، درصد حجمی و ابعاد نانوذرات استفاده شده در هر کدام از شرایط روان کاری کمینه آورده شده است. جزئیات چگونگی آماده سازی و سایر خصوصیات نانوذرات را می توان از [۱۲] استخراج نمود.

جدول ۲ مشخصات نانوذرات استفاده شده در هر شرایط مختلف روان کاری کمینه

شرایط روان کاری	نام نانوذرات	نوع نانوذرات	دراصد حجمی نانوذرات	ابعاد متوسط نانومتر
۱	اکسید آلومینیوم	%۱	اکسید آلومینیوم	۴۰
۲	اکسید آلومینیوم	%۲/۵	اکسید آلومینیوم	۴۰
۳	اکسید آلومینیوم	%۴	اکسید آلومینیوم	۴۰
۴	اکسید آلومینیوم	%۲/۵	اکسید آلومینیوم	۱۳۰
۵	نانولله های کربنی	%۱	قطر خارجی: ۵۰-۸۰ نانومتر	قطر داخلی: ۵-۱۵ نانومتر
۶	گرافیت	%۲/۵	طول: ۱۰-۲۰ نانومتر	۵۰



شکل ۲ نیروی مماسی سنگ زنی در شرایط مختلف روان کاری

- Base Fluid
- Surfactant
- Ultrasonic Homogenizer Mixer
- Sodium Dodecyl Sulfate (SDS or NaDS)- CH₃(CH₂)₁₁OSO₃Na
- Ultrasonic Bath

متوسط نانوذرات اکسید آلومینیوم از ۴۰ نانومتر به ۱۳۰ نانومتر باعث ۷/۲٪ کاهش نیروی مماسی، ۸/۹٪ کاهش نیروی عمودی و ۸٪ افزایش نسبت نیروی مماسی به نیروی عمودی می‌شود) که برخلاف آن چیزی است که در سنگزنانی سنتی دیده می‌شود. از آنجایی که صرفاً با مقایسه نتایج دو آزمایش، نمی‌توان با یقین گفت که این روند، در سنگزنانی به کمک ارتعاشات فراصوت، معمول است، لازم است که آزمایش‌های بیشتری برای بررسی تأثیر اندازه نانوذرات در روان کاری کمینه‌ی فرآیند سنگزنانی به کمک ارتعاشات فراصوت، انجام شود.

۵- مقایسه نانوذرات مختلف

در این بخش نتایج حاصل از شرایط روان کاری کمینه ۱ با ۵ و ۲ با ۶ مقایسه خواهد شد.

۵-۱- مقایسه کاربرد نانولوله کربنی با کاربرد نانوذرات اکسید آلومینیوم

طی پژوهش‌های متعددی تأثیر افزودن نانولوله‌های کربنی چندجداره به سیال‌های مختلف بر خواص حرارتی بررسی شده است و ثابت شده است که این نانولوله‌ها بهبود دهنده خواص حرارتی هستند [۲۰-۱۸] و تأثیر این نانوذرات در بهبود خواص روان کاری بسیار به ترکیب شیمیایی سیال پایه واپس است [۲۱]. طی این آزمایش‌ها مشخص شد که افزودن نانولوله‌های کربنی چندجداره به آب، در روان کاری کمینه، تأثیر چندانی بر نیروها چه در سنگزنانی سنتی و چه در سنگزنانی به کمک ارتعاشات فراصوت، ندارد و حتاً نیروها را کمی زیادتر هم می‌کند (در سنگزنانی سنتی: ۲/۵٪ افزایش نیروی مماسی، ۰/۰٪ افزایش نیروی عمودی و ۲/۳٪ افزایش نسبت نیروی مماسی به نیروی عمودی- در سنگزنانی به کمک ارتعاشات فراصوت: ۰/۰٪ افزایش نیروی مماسی، ۱/۵٪ کاهش نیروی عمودی و ۱/۹٪ افزایش نسبت نیروی مماسی به نیروی عمودی). دلیل این موضوع آن است که ابعاد طولی نانولوله‌های کربنی چندجداره نسبتاً بسیار بزرگ است (در حدود میکرون) که باعث مانع از نفوذ این ذرات به ناحیه سنگزنانی می‌شود و حتاً خود این ذرات نیز باعث نفوذ کمتر سیال برشی را به این ناحیه می‌شوند.

به همین دلیل افزودن نانولوله‌های کربنی به آب در روان کاری کمینه فرآیند سنگزنانی برخلاف نانوذرات اکسید آلومینیوم، چه در سنگزنانی سنتی و چه در سنگزنانی به کمک ارتعاشات فراصوت، توجیهی ندارد.

۵-۲- مقایسه نانوذرات گرافیت با نانوذرات اکسید آلومینیوم

همان‌گونه که در شکل‌های ۲ تا ۴ دیده می‌شود، نانوذرات گرافیت نسبت به نانوذرات اکسید آلومینیوم در آب به عنوان سیال پایه عمل کرد بهتری از نظر روان کاری و کاهش نیروهای سنگزنانی (در سنگزنانی سنتی نانوذرات گرافیت نیروی مماسی را ۷/۶٪ و نیروی عمودی را ۶٪ بیشتر از نانوذرات اکسید آلومینیوم کاهش می‌دهند و در سنگزنانی به کمک ارتعاشات فراصوت نانوذرات گرافیت نیروی مماسی را ۸/۳٪ و نیروی عمودی را ۱۶/۱٪ بیشتر از نانوذرات اکسید آلومینیوم کاهش می‌دهند) دارند. در مورد نسبت نیروی مماسی به نیروی عمودی نیز، در سنگزنانی سنتی، نانوذرات گرافیت نسبت به نانوذرات اکسید آلومینیوم باعث کاهش بیشتر نسبت نیروها می‌شوند در حالی که در سنگزنانی به کمک ارتعاشات فراصوت، نانوذرات گرافیت باعث افزایش ناچیز نسبت نیروها می‌شوند اما نانوذرات اکسید آلومینیوم، نسبت

۴- تأثیر ابعاد و درصد حجمی نانوذرات اکسید آلومینیوم

در این بخش نتایج حاصل از شرایط روان کاری کمینه با ۱ تا ۳ را با یکدیگر، و روان کاری کمینه با ۲ و ۴ را نیز با هم دیگر مقایسه خواهد شد.

۴-۱- تأثیر درصد حجمی نانوذرات

دیده می‌شود که در سنگزنانی سنتی^۱ و سنگزنانی به کمک ارتعاشات فراصوت با افزایش درصد حجمی نانوذرات از ۱۰٪ به ۲/۵٪ و از ۴/۰٪ به ۲/۵٪ کاهش نیروی مماسی به ۱۴٪ کاهش نیروی مماسی برای روان کاری کمینه با ۱، ۱۲٪ کاهش نیروی عمودی و ۲/۱٪ کاهش نیروی مماسی برای روان کاری کمینه با ۲ و ۱۱٪ کاهش نیروی عمودی و ۲/۷٪ کاهش نیروی مماسی برای روان کاری کمینه با ۳ - در سنگزنانی به کمک ارتعاشات فراصوت: ۶٪ کاهش نیروی عمودی و ۱۱٪ کاهش نیروی مماسی برای روان کاری کمینه با ۱۰٪ کاهش نیروی عمودی و ۱۸٪ کاهش نیروی مماسی برای روان کاری کمینه با ۲ و ۱۰٪ کاهش نیروی عمودی و ۲/۲٪ کاهش نیروی مماسی برای روان کاری کمینه با ۳ - کاهش نیروی مماسی برای روان کاری کمینه با ۳. با دقت در شکل ۳ می‌بینیم که در سنگزنانی سنتی نیروی عمودی در روان کاری کمینه با ۳ کمی بیشتر از روان کاری کمینه با ۲ است که می‌تواند ناشی از خطاهای اندازه‌گیری باشد و چون این افزایش نیروی عمودی کمتر از ۱۰٪ است، قابل صرف نظر است. صرف حضور ارتعاشات فراصوت نیز باعث ۳۶/۸٪ کاهش نیروی عمودی و ۲۰/۷٪ کاهش نیروی مماسی می‌شود.

نانوذرات معلق در سیال با نفوذ به ناحیه تماس دانه‌های چرخ سنگزنانی با قطعه کار، افزایش لزجت و کاهش تماس مستقیم ساینده با فلز شرایط روان کاری را بهبود می‌بخشند [۱۴، ۱۳] و هرچه نانوذرات بیشتری در سیال معلق باشند، به دلیل بهبود خواص انتقال حرارت و این‌که همانند بلبرینگ عمل می‌کنند، روان کاری بهتری مشاهده می‌شود [۱۵]. نانوذرات اکسید آلومینیوم هم که کروی‌شکل هستند، از همین قاعده پیروی می‌کنند. نسبت نیروی مماسی به نیروی عمودی نیز که معیاری از ارتعاشات اصطکاکی حاکم بر فرآیند است [۱۴]. با افزایش درصد حجمی نانوذرات معلق در سیال، چه در سنگزنانی سنتی و چه در سنگزنانی به کمک ارتعاشات فراصوت، کاهش می‌یابد که بیان‌گر افزایش بازدهی سنگزنانی و کاهش انرژی مخصوص برآده برداری است [۱۴]. ولی صرف حضور ارتعاشات فراصوت باعث افزایش نسبت نیروها (ضریب اصطکاک) می‌شود که بیان‌گر کاهش بازدهی است، اما دقت به این واقعیت که این افزایش به دلیل کاهش شدید نیروی عمودی سنگزنانی است [۱۶]، این نتیجه را در بر دارد که در عمل حضور ارتعاشات فراصوت باعث افزایش هر چه بیشتر بازدهی فرآیند می‌شود.

۴-۲- تأثیر ابعاد نانوذرات

در سنگزنانی سنتی، با افزایش اندازه نانوذرات، نیروهای سنگزنانی افزایش می‌یابند (افزایش قطر متوسط نانوذرات اکسید آلومینیوم از ۴۰ نانومتر به ۱۳۰ نانومتر باعث ۰/۰٪ افزایش نیروی مماسی و ۲/۲٪ افزایش نیروی عمودی می‌شود) در حالی که نسبت نیروها ثابت می‌مانند. دلیل این امر آن است که افزایش اندازه نانوذرات، نفوذ آن‌ها را به ناحیه سنگزنانی دشوارتر می‌کند و باعث کاهش اثر بلبرینگی نانوذرات می‌شود [۱۷].

اما در سنگزنانی به کمک ارتعاشات فراصوت، افزایش اندازه نانوذرات باعث کاهش نیروهای سنگزنانی و افزایش نسبت نیروها می‌شود (افزایش قطر

- [11] D.X. Peng, Y. Kang, R.M. Hwang, S.S. Shyr, Y.P. Chang, Tribological properties of diamond and SiO₂ nanoparticles added in paraffin, *Tribology International*, Vol. 42, No. 6, pp. 911-917, 2009.
- [12] M.M. Molaei, *A study of nanoparticles usage in minimum quantity lubricated ultrasonic-assisted grinding*, M.S. Thesis, Mechanical Engineering Department, Sharif University of Technology, 2015. (In Persian)
- [13] J. Lee, S. Cho, Y. Hwang, H.J. Cho, C. Lee, Y. Choi, B.C. Ku, H. Lee, B. Lee, D. Kim, SH. Kim, Application of fullerene-added nano-oil for lubrication enhancement in friction surfaces. *Tribology International*, Vol. 42, No. 3, pp. 440-447, 2009.
- [14] P. Kalita, A.P. Malshe, S. A. Kumar, V.G. Yoganath, T. Gurumurthy, Study of specific energy and friction coefficient in minimum quantity lubrication grinding using oil-based nanolubricants, *Journal of Manufacturing Processes*, Vol. 14, No. 2, pp. 160-166, 2012.
- [15] S.M.S. Mashed, K.C. Leong, C. Yang, A combined model for the effective thermal conductivity of nanofluids, *Applied Thermal Engineering*, Vol. 29, No. 11-12, pp. 2477-2483, 2009.
- [16] T. Tawakoli, B. Azarhoushang, Influence of ultrasonic vibrations on dry grinding of soft steel, *International Journal of Machine Tools & Manufacture*, Vol. 48, No. 14, pp. 1585-1591, 2008.
- [17] P. Lee, J.S. Nam, C. Li, S.W. Lee, An experimental study on micro-grinding process with nanofluid minimum quantity lubrication (MQL), *International Journal of Precision Engineering and Manufacturing*, Vol. 13, No. 3, pp. 331-338, 2012.
- [18] S.U.S. Choi, S. Li, W. Yu, L.J. Thompson, Anomalously increased effective thermal conductivities of ethylene glycol-based nanofluids containing copper nanoparticles, *Applied Physics Letters*, Vol. 78, No. 6, pp. 718-720, 2001.
- [19] H. Xie, J. Wang, T. Xi, Y. Liu, F. Ai, Q. Wu, Thermal conductivity enhancement of suspensions containing nanosized alumina particles, *Journal of Applied Physics*, Vol. 91, pp. 4568-4572, 2002.
- [20] M.J. Assael, C.F. Chen, I. Metaxa, W.A. Wakeham, Thermal conductivity of suspensions of carbon nanotubes in water, *International Journal of Thermophysics*, Vol. 25, No. 4, pp. 971-985, 2004.
- [21] B. Shen, A.P. Malshe, P. Kalita, A.J. Shih, Performance and behavior of novel MoS₂ nanoparticles based grinding fluids in minimum quantity lubrication grinding, *Transactions of NAMRI/SME*, Vol. 36, pp. 357-364, 2008.

نیروها را کاهش می‌دهند.
در مجموع، استفاده از نانوذرات گرافیت در مقایسه با نانوذرات اکسید آلمینیوم تأثیر بهتری بر افزایش کارایی فرآیند سنگزتی دارد.

۶- خلاصه‌ی نتایج

در روان کاری کمینه‌ی فرآیند سنگزتی سنتی و نیز سنگزتی به کمک ارتعاشات فرآصوت با استفاده از نانو سیال، افزایش مقدار نانوذرات معلق در سیال برتری سبب کاهش هرچه بیشتر نیروهای سنگزتی و نسبت نیروی مماسی به نیروی عمودی.

در سنگزتی سنتی، نانوذرات بزرگ‌تر به دلیل آن که قابلیت کمتری برای نفوذ به ناحیه‌ی سنگزتی دارند، توانایی کمتری در بهبود خاصیت روان کاری دارند. اما در سنگزتی به کمک ارتعاشات فرآصوت، نانوذرات بزرگ‌تر اکسید آلمینیوم که هم‌جنس ساینده‌ی چرخ سنگزتی هستند، توانایی بهتری در کاهش نیروهای سنگزتی نسبت به نانوذرات کوچک‌تر می‌شود را دارند.

با انتخاب آب به عنوان سیال برتری، استفاده از نانولوله‌های کربنی چند جداره برای بهبود شرایط روان کاری (کاهش نیروهای سنگزتی)، به هیچ وجه گزینه‌ی مناسبی نیست، در حالی که نانوذرات اکسید آلمینیوم شرایط روان کاری را بسیار بهبود می‌دهند و نانوذرات گرافیت نیز حتی نسبت به نانوذرات اکسید آلمینیوم عمل کرد بهتری دارند.

بدین ترتیب در سنگزتی به کمک ارتعاشات فرآصوت، با انتخاب ترکیبی مناسب از پارامترهای سوسپانسیون سیال- نانوذرات شامل نوع سیال، نوع نانوذرات، ابعاد نانوذرات و درصد حجمی نانوذرات، با توجه به جنس قطعه کار و چرخ سنگزتی، می‌توان نیروهای سنگزتی را به مقدار قابل توجهی کاهش داد که اولاً با کاهش حرارت تولیدی، به بهبود کیفیت سطح سنگ خوردده کمک می‌کند و ثانیاً به افزایش عمر ابزار و در نتیجه کاهش قابل ملاحظه‌ی هزینه‌های تولید می‌انجامد.

۷- مراجع

- [1] T. Tawakoli, M.J. Hadad, M.H. Sadeghi, A. Daneshi, S. Stöckert, A. Rasifard, An experimental investigation of the effects of workpiece and grinding parameters on minimum quantity lubrication—MQL grinding. *International Journal of Machine Tools and Manufacture*, Vol. 49, No. 12, pp. 924-932, 2009.
- [2] M.P. Grover, *Fundamentals of modern manufacturing materials, processes, and systems*, Fourth Edition, pp. 604-621, New York: John Wiley, 2010.
- [3] T.B. Thoe, D.K. Aspinwall, M.L.H. Wise, Review on ultrasonic machining. *International Journal of Machine Tools and Manufacture*, Vol. 38, No. 4, pp. 239-255, 1998.
- [4] D. Bhaduri, S.L. Soo, D.K. Aspinwall, D. Novovic, P. Harden, S. Bohr, D. Martin, A study on Ultrasonic Assisted Creep Feed Grinding of Nickel Based Superalloys, *Procedia CIRP*, Vol. 1, pp. 376-381, 2012.
- [5] J. Akbari, H. Borzui, M.H. Manduhi, Using Ultrasonic Vibration for Increasing the Performance of Grinding Process of Fine Ceramics, *The XVIIth Processing and Fabrication of Advanced Materials International Symposium (PFAM17)*, Delhi, India, 2008.
- [6] S.A. Lawal, I.A. Choudhury, Y. Nukman, A critical assessment of lubrication techniques in machining processes: a case for minimum quantity lubrication using vegetable oil-based lubricant, *Journal of Cleaner Production*, Vol. 41, pp. 210-221, 2013.
- [7] M. Hadad, B. Sadeghi, Minimum quantity lubrication-MQL turning of AISI 4140 steel alloy, *Journal of Cleaner Production*, Vol. 54, pp. 332-343, 2013.
- [8] D. Fratila, C. Caizar, Application of Taguchi method to selection of optimal lubrication and cutting conditions in face milling of AlMg₃, *Journal of Cleaner Production*, Vol. 19, No. 6-7, pp. 640-645, 2011
- [9] T. Tawakoli, M. Hadad, M.H. Sadeghi, A. Daneshi, B. Sadeghi, Minimum quantity lubrication in grinding: effects of abrasive and coolant-lubricant types, *Journal of Cleaner Production*, Vol. 19, No. 17-18, pp. 2088-2099, 2011.
- [10] M. Sarıkaya, A. Güllü, Taguchi design and response surface methodology based analysis of machining parameters in CNC turning under MQL, *Journal of Cleaner Production*, Vol. 65, pp. 604-616, 2014.